

# Starkniederschlagshöhen und -spenden gemäß KOSTRA-DWD-2020

## Rasterfeld 96192

(Zeile 96, Spalte 192)

### Regenspende und Bemessungsniederschlagswerte in Abhängigkeit von Wiederkehrzeit T und Dauerstufe D

| Dauerstufe D |     | Wiederkehrzeit T |            |      |            |      |            |      |            |      |            |       |            |       |            |       |            |       |            |
|--------------|-----|------------------|------------|------|------------|------|------------|------|------------|------|------------|-------|------------|-------|------------|-------|------------|-------|------------|
|              |     | 1 a              |            | 2 a  |            | 3 a  |            | 5 a  |            | 10 a |            | 20 a  |            | 30 a  |            | 50 a  |            | 100 a |            |
| min          | Std | mm               | l / (s ha) | mm   | l / (s ha) | mm   | l / (s ha) | mm   | l / (s ha) | mm   | l / (s ha) | mm    | l / (s ha) | mm    | l / (s ha) | mm    | l / (s ha) | mm    | l / (s ha) |
| 5            |     | 7,1              | 236,7      | 9,1  | 303,3      | 10,3 | 343,3      | 11,9 | 396,7      | 14,2 | 473,3      | 16,5  | 550,0      | 18,1  | 603,3      | 20,1  | 670,0      | 23,0  | 766,7      |
| 10           |     | 9,0              | 150,0      | 11,5 | 191,7      | 13,0 | 216,7      | 15,0 | 250,0      | 17,9 | 298,3      | 20,9  | 348,3      | 22,8  | 380,0      | 25,4  | 423,3      | 29,1  | 485,0      |
| 15           |     | 10,2             | 113,3      | 12,9 | 143,3      | 14,7 | 163,3      | 16,9 | 187,8      | 20,2 | 224,4      | 23,5  | 261,1      | 25,7  | 285,6      | 28,6  | 317,8      | 32,7  | 363,3      |
| 20           |     | 11,0             | 91,7       | 14,0 | 116,7      | 15,9 | 132,5      | 18,3 | 152,5      | 21,8 | 181,7      | 25,5  | 212,5      | 27,9  | 232,5      | 31,0  | 258,3      | 35,5  | 295,8      |
| 30           |     | 12,2             | 67,8       | 15,6 | 86,7       | 17,7 | 98,3       | 20,4 | 113,3      | 24,3 | 135,0      | 28,4  | 157,8      | 31,0  | 172,2      | 34,5  | 191,7      | 39,5  | 219,4      |
| 45           |     | 13,6             | 50,4       | 17,3 | 64,1       | 19,6 | 72,6       | 22,6 | 83,7       | 26,9 | 99,6       | 31,4  | 116,3      | 34,4  | 127,4      | 38,2  | 141,5      | 43,7  | 161,9      |
| 60           | 1   | 14,6             | 40,6       | 18,5 | 51,4       | 21,0 | 58,3       | 24,3 | 67,5       | 28,9 | 80,3       | 33,7  | 93,6       | 36,9  | 102,5      | 41,0  | 113,9      | 46,9  | 130,3      |
| 90           | 1,5 | 16,1             | 29,8       | 20,5 | 38,0       | 23,2 | 43,0       | 26,7 | 49,4       | 31,9 | 59,1       | 37,2  | 68,9       | 40,7  | 75,4       | 45,2  | 83,7       | 51,8  | 95,9       |
| 120          | 2   | 17,2             | 23,9       | 21,9 | 30,4       | 24,8 | 34,4       | 28,6 | 39,7       | 34,2 | 47,5       | 39,8  | 55,3       | 43,6  | 60,6       | 48,4  | 67,2       | 55,4  | 76,9       |
| 180          | 3   | 18,9             | 17,5       | 24,1 | 22,3       | 27,3 | 25,3       | 31,5 | 29,2       | 37,6 | 34,8       | 43,8  | 40,6       | 47,9  | 44,4       | 53,3  | 49,4       | 61,0  | 56,5       |
| 240          | 4   | 20,2             | 14,0       | 25,8 | 17,9       | 29,2 | 20,3       | 33,7 | 23,4       | 40,2 | 27,9       | 46,9  | 32,6       | 51,3  | 35,6       | 57,0  | 39,6       | 65,2  | 45,3       |
| 360          | 6   | 22,2             | 10,3       | 28,3 | 13,1       | 32,1 | 14,9       | 37,1 | 17,2       | 44,2 | 20,5       | 51,5  | 23,8       | 56,3  | 26,1       | 62,7  | 29,0       | 71,7  | 33,2       |
| 540          | 9   | 24,4             | 7,5        | 31,1 | 9,6        | 35,3 | 10,9       | 40,7 | 12,6       | 48,5 | 15,0       | 56,6  | 17,5       | 61,9  | 19,1       | 68,8  | 21,2       | 78,8  | 24,3       |
| 720          | 12  | 26,1             | 6,0        | 33,3 | 7,7        | 37,7 | 8,7        | 43,5 | 10,1       | 51,9 | 12,0       | 60,5  | 14,0       | 66,2  | 15,3       | 73,6  | 17,0       | 84,2  | 19,5       |
| 1080         | 18  | 28,7             | 4,4        | 36,5 | 5,6        | 41,4 | 6,4        | 47,8 | 7,4        | 57,0 | 8,8        | 66,4  | 10,2       | 72,7  | 11,2       | 80,8  | 12,5       | 92,4  | 14,3       |
| 1440         | 24  | 30,7             | 3,6        | 39,0 | 4,5        | 44,2 | 5,1        | 51,1 | 5,9        | 60,9 | 7,0        | 71,0  | 8,2        | 77,6  | 9,0        | 86,3  | 10,0       | 98,8  | 11,4       |
| 2880         | 48  | 36,0             | 2,1        | 45,8 | 2,7        | 51,9 | 3,0        | 59,9 | 3,5        | 71,4 | 4,1        | 83,3  | 4,8        | 91,1  | 5,3        | 101,3 | 5,9        | 115,9 | 6,7        |
| 4320         | 72  | 39,5             | 1,5        | 50,3 | 1,9        | 57,0 | 2,2        | 65,7 | 2,5        | 78,4 | 3,0        | 91,4  | 3,5        | 100,0 | 3,9        | 111,2 | 4,3        | 127,2 | 4,9        |
| 5760         | 96  | 42,2             | 1,2        | 53,7 | 1,6        | 60,9 | 1,8        | 70,2 | 2,0        | 83,8 | 2,4        | 97,7  | 2,8        | 106,8 | 3,1        | 118,8 | 3,4        | 135,9 | 3,9        |
| 7200         | 120 | 44,4             | 1,0        | 56,5 | 1,3        | 64,1 | 1,5        | 73,9 | 1,7        | 88,2 | 2,0        | 102,8 | 2,4        | 112,5 | 2,6        | 125,0 | 2,9        | 143,1 | 3,3        |
| 8640         | 144 | 46,3             | 0,9        | 59,0 | 1,1        | 66,8 | 1,3        | 77,1 | 1,5        | 92,0 | 1,8        | 107,3 | 2,1        | 117,3 | 2,3        | 130,4 | 2,5        | 149,2 | 2,9        |
| 10080        | 168 | 48,0             | 0,8        | 61,1 | 1,0        | 69,2 | 1,1        | 79,9 | 1,3        | 95,3 | 1,6        | 111,1 | 1,8        | 121,5 | 2,0        | 135,1 | 2,2        | 154,6 | 2,6        |

# Starkniederschlagshöhen und -spenden gemäß KOSTRA-DWD-2020

## Rasterfeld 96192

(Zeile 96, Spalte 192)

### Örtliche Unsicherheiten in Abhängigkeit von Wiederkehrzeit T und Dauerstufe D

| Dauerstufe D |     | Wiederkehrzeit T |     |     |     |      |      |      |      |       |
|--------------|-----|------------------|-----|-----|-----|------|------|------|------|-------|
|              |     | 1 a              | 2 a | 3 a | 5 a | 10 a | 20 a | 30 a | 50 a | 100 a |
| min          | Std | ± %              | ± % | ± % | ± % | ± %  | ± %  | ± %  | ± %  | ± %   |
| 5            |     | 10               | 11  | 11  | 12  | 12   | 13   | 13   | 14   | 14    |
| 10           |     | 12               | 14  | 15  | 16  | 17   | 18   | 19   | 19   | 20    |
| 15           |     | 14               | 16  | 17  | 18  | 20   | 21   | 21   | 22   | 22    |
| 20           |     | 15               | 17  | 19  | 20  | 21   | 22   | 23   | 23   | 24    |
| 30           |     | 16               | 19  | 20  | 21  | 23   | 24   | 24   | 25   | 25    |
| 45           |     | 17               | 19  | 21  | 22  | 23   | 24   | 25   | 25   | 26    |
| 60           | 1   | 17               | 19  | 21  | 22  | 23   | 24   | 25   | 26   | 26    |
| 90           | 1,5 | 16               | 19  | 20  | 22  | 23   | 24   | 25   | 25   | 26    |
| 120          | 2   | 16               | 19  | 20  | 21  | 23   | 24   | 24   | 25   | 25    |
| 180          | 3   | 15               | 18  | 19  | 20  | 22   | 23   | 23   | 24   | 25    |
| 240          | 4   | 14               | 17  | 18  | 20  | 21   | 22   | 23   | 23   | 24    |
| 360          | 6   | 13               | 16  | 17  | 19  | 20   | 21   | 22   | 22   | 23    |
| 540          | 9   | 13               | 15  | 16  | 18  | 19   | 20   | 20   | 21   | 22    |
| 720          | 12  | 12               | 15  | 16  | 17  | 18   | 19   | 20   | 20   | 21    |
| 1080         | 18  | 12               | 14  | 15  | 16  | 17   | 18   | 19   | 19   | 20    |
| 1440         | 24  | 12               | 13  | 14  | 15  | 17   | 18   | 18   | 19   | 19    |
| 2880         | 48  | 12               | 13  | 14  | 14  | 15   | 16   | 17   | 17   | 18    |
| 4320         | 72  | 12               | 13  | 13  | 14  | 15   | 16   | 16   | 17   | 17    |
| 5760         | 96  | 12               | 13  | 13  | 14  | 15   | 15   | 16   | 16   | 17    |
| 7200         | 120 | 13               | 13  | 13  | 14  | 15   | 15   | 16   | 16   | 17    |
| 8640         | 144 | 13               | 13  | 14  | 14  | 15   | 15   | 16   | 16   | 16    |
| 10080        | 168 | 14               | 14  | 14  | 14  | 15   | 15   | 16   | 16   | 16    |

### Parameter für abweichende T und D

#### Lokationsparameter $\xi$ (Xi)

14,78453641

#### Skalenparameter $\alpha$ (Alpha)

5,6185038

#### Formparameter $\kappa$ (Kappa)

-0,1

#### 1. Koutsoyiannis-Parameter $\theta$ (Theta)

0,0186993

#### 2. Koutsoyiannis-Parameter $\eta$ (Eta)

0,77008707

Parameter für dauerstufenübergreifende Extremwertschätzung nach KOUTSOYIANNIS et al. 1998.

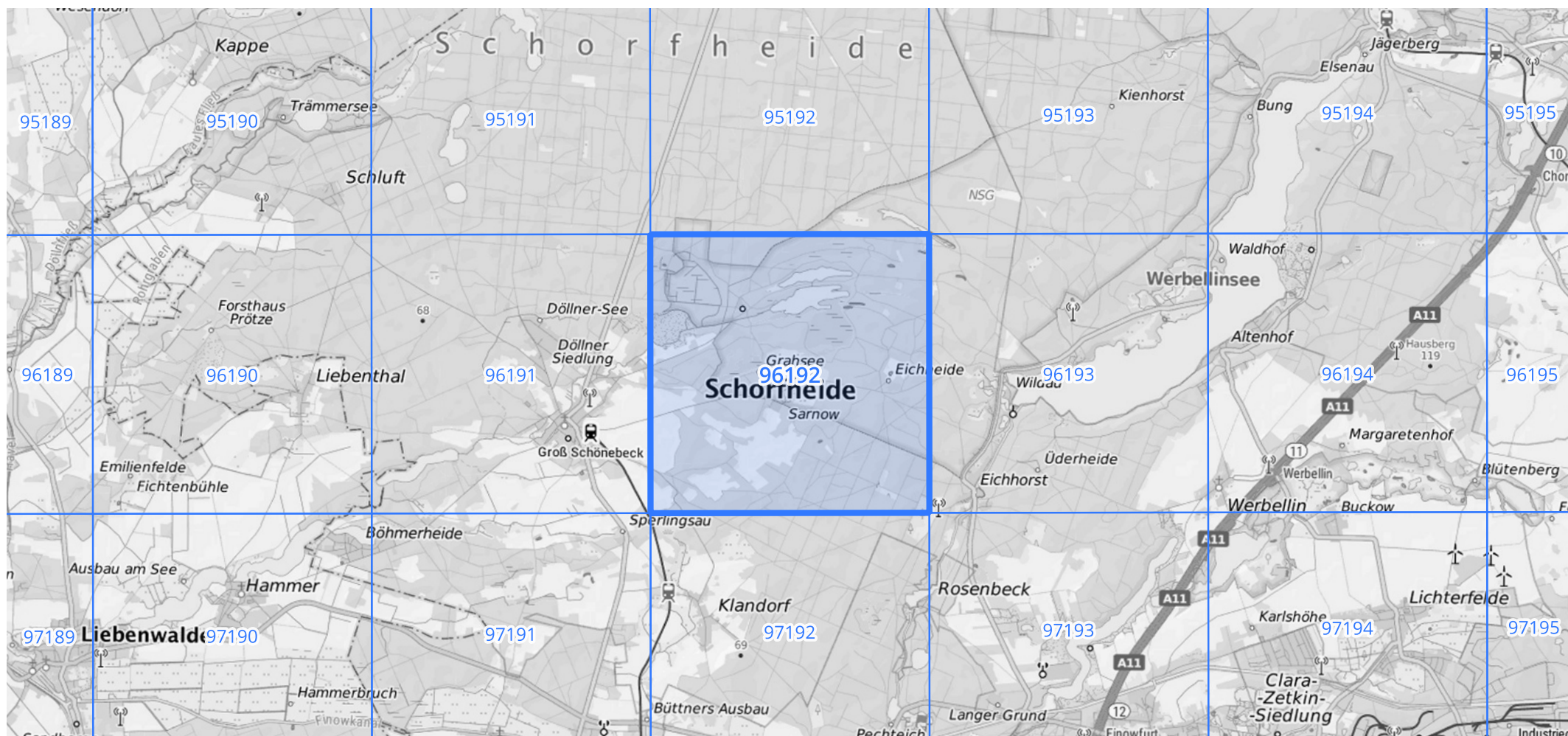
Siehe auch Anwendungshilfe zu KOSTRA-DWD-2020 des Deutschen Wetterdienstes.

## Starkniederschlagshöhen und -spenden gemäß KOSTRA-DWD-2020

## Rasterfeld 96192

(Zeile 96, Spalte 192)

## Übersichtskarte des Rasterfeldes 96192, M 1 : 100 000



Quelle Rasterdaten: KOSTRA-DWD-2020 des Deutschen Wetterdienstes, Stand 12/2022.

Seite 3 von 3

Kartendarstellung: © Bundesamt für Kartographie und Geodäsie (2023), Datenquellen: [https://sgx.geodatenzentrum.de/web\\_public/gdz/datenquellen/Datenquellen\\_TopPlusOpen.html](https://sgx.geodatenzentrum.de/web_public/gdz/datenquellen/Datenquellen_TopPlusOpen.html)

Für die Richtigkeit und Aktualität der Angaben wird keine Gewähr übernommen. Erstellt 01/2023.